

07;08

©1995

ВЫВОД ПРОИЗВОЛЬНО-ПОЛЯРИЗОВАННОГО ИЗЛУЧЕНИЯ ИЗ ПОЛОСТИ ЛАЗЕРНОГО РЕЗОНАТОРА ПОСРЕДСТВОМ АКУСТООПТИЧЕСКОГО ВЗАИМОДЕЙСТВИЯ

B.M. Котов

Известно, что интенсивность светового излучения, заключенного между зеркалами лазерного резонатора, во много раз превышает интенсивность, излучаемую через зеркала. В [1,2] предложен вариант, позволяющий вывести всю запасенную внутрирезонаторную энергию в виде короткого и мощного импульса с помощью акустооптического (АО) модулятора. Однако в этом варианте АО модулятор потребляет большую электрическую мощность (средний уровень которой — несколько ватт), что приводит к необходимости охлаждать его. Кроме того, выбранный режим дифракции недостаточно эффективен при использовании его для вывода внутрирезонаторного излучения с произвольной поляризацией.

В настоящей работе предлагается метод вывода внутрирезонаторного излучения, лишенный этих недостатков. Метод основан на сочетании свойства зеркала менять поляризацию света при его отражении с оптическими свойствами гиротропных сред. Подобное сочетание уже использовалось для получения поляризационно-нечувствительной АО модуляции лазерного излучения [3,4]. На рис. 1 показана оптическая схема предлагаемого варианта. Оптическое внутрирезонаторное излучение 1 с произвольной поляризацией пересекает АО ячейку 2, выполненную на базе гиротропного материала. Внутри ячейки исходное оптическое излучение распадается на две собственные волны с право- и левоциркулярными поляризациями. В ячейке возбуждается акустическая волна q пьезопреобразователем 3. Условия АО взаимодействия выбраны такими, чтобы в брэгговском режиме с акустической волной находилась одна из собственных волн оптического излучения, например, с левоциркулярной поляризацией. Эта волна дифрагирует в направление 4, сменив поляризацию в результате анизотропной дифракции на правоциркулярную. Собственная волна с правоциркулярной поляризацией пересекает ячейку 2 без дифракции, в направлении 5. После отражения от резонаторного зеркала 6 луч 5 распространяется в направлении 7,

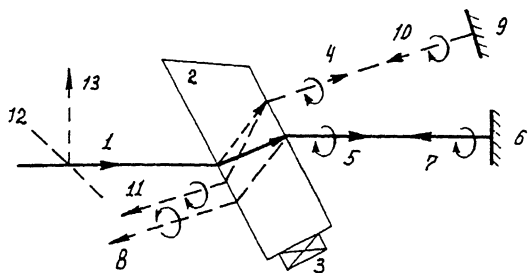


Рис. 1. Оптическая схема вывода излучения из резонатора при помощи АО ячейки.

сменив правоциркулярную поляризацию на левоциркулярную. Попадая в АО ячейку 2, излучение 7 дифрагирует на той же акустической волне q в направлении 8, сменив при этом поляризацию на правоциркулярную. Нормально лучу 4 установлено дополнительное зеркало 9, отражающее это излучение в луч 10 с левоциркулярной поляризацией. Луч 10 пересекает АО ячейку 2 без дифракции, в направлении луча 11, коллинеарном с лучом 8. Лучи 8 и 11 составляют излучение, выводимое из полости лазерного резонатора. Отметим, что в направлении 1 излучение не возвращается, оно в конечном итоге выводится из резонатора в направлениях 8 и 11.

Описанный процесс формирования выходного излучения поясняется с помощью векторной диаграммы (рис. 2). На

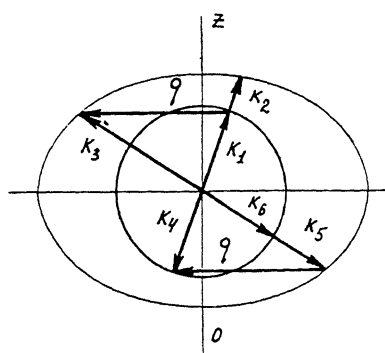


Рис. 2. Векторная диаграмма используемого вида АО дифракции.

этом рисунке изображено сечение поверхностей волновых векторов одноосного гиротропного кристалла, примером которого может служить TeO_2 . Исходное оптическое излучение распространяется вблизи оптической оси OZ кристалла, распадаясь внутри его на две собственные волны с волновыми векторами K_1 и K_2 . Излучение K_1 дифрагирует в направление K_3 в результате АО взаимодействия с акустической волной q , распространяющейся ортогонально OZ . Луч K_3 соответствует лучу 4 на рис. 1. После отражения от резонаторного зеркала луч K_2 распространяется в направлении луча K_4 . Поскольку при отражении от зеркала изменилось состояние поляризации, луч K_4 принадлежит “внутренней” волновой поверхности в отличие от луча K_2 , принадлежащего “внешней” волновой поверхности. Луч K_4 оказывается в брэгговском синхронизме с той же акустической волной q и дифрагирует в направление K_5 , соответствующее лучу 8 на рис. 1. Луч K_3 после отражения от дополнительного зеркала распространяется в направлении луча K_6 , поляризация которого ортогональна поляризации луча K_3 . Видно, что между лучом K_6 и звуковой волной q нет брэгговского синхронизма, поэтому K_6 в дифракции не участвует. Направление луча K_6 соответствует лучу 11 на рис. 1. Таким образом, исходное излучение, представленное волновыми векторами K_1 и K_2 , в конечном итоге распространяется в направлении лучей K_5 и K_6 .

Необходимо отметить еще одну особенность описанного вида дифракции. Из векторной диаграммы следует, что луч K_6 имеет частоту $(\omega + f)$, а луч K_5 — $(\omega - f)$, где ω и f — частоты оптической и акустической волн соответственно. Если интенсивности лучей K_5 и K_6 одинаковы и эти лучи имеют циркулярные поляризации, то суммарное выходное излучение будет линейно поляризованным, электрический вектор поляризации E которого вращается вокруг направления распространения луча с частотой $2f$.

Согласно оптической схеме рис. 1 был выполнен эксперимент. Излучение 1, генерируемое Не-Не лазером типа ЛГ-207А, распространялось через АО ячейку 2, изготовленную на базе монокристалла TeO_2 . Излучение распространялось вблизи оптической оси [001] кристалла. Размеры кристалла $8 \times 6 \times 6$ мм вдоль направлений [110], [1 $\bar{1}$ 0] и [001] соответственно. Оптические грани “просветлялись” на длине волны 0.63 мкм. К грани {110} приклеивался пьезопреобразователь из LiNbO_3 , генерирующий поперечную акустическую волну с частотой 28 МГц. Зеркало 6 устанавливалось нормально к падающему излучению, пространство между зеркалом 6 и выходным зеркалом лазера имитировало полость лазерного резонатора. На пути дифрагированного в +1-й порядок излучения устанавливалось дополнитель-

ное зеркало 9. Лучи 8 и 11 являлись лучами, выводимыми из "полости" лазерного резонатора. На пути луча 1 устанавливалась делительная пластиинка 12 для контроля возвращающегося в лазер излучения (луч 13). Эксперимент заключался в измерении интенсивности оптических лучей, распространяющихся в направлениях 13 и 8, 11 при наличии и отсутствии звуковой волны в АО ячейке. Измерения показали, что при включении звуковой волны в ячейке 2 интенсивность луча 13 уменьшалась до 10% от первоначального значения, при этом интенсивность лучей 8, 11 составляла 80% от интенсивности исходного лазерного излучения. Возникающие потери света связаны с отражениями от оптических граней кристалла, а также с дифракцией света в другие порядки. Описанный режим дифракции реализовывался при подводимой электрической мощности 0.08 Вт.

Таким образом, предлагаемый вариант вывода внутрирезонаторного излучения обладает неоспоримыми преимуществами перед вариантом, предложенным в [1,2], так как позволяет практически полностью выводить произвольно-поляризованное оптическое излучение из резонатора при гораздо меньших управляющих мощностях.

Список литературы

- [1] Магдич Л.Н., Молчанов В.Я. Акустооптические устройства и их применение. М.: Сов. радио, 1978. 112 с.
- [2] Maydan D. // J. Appl. Phys. 1970. V. 41. N 4. P. 1552-1559.
- [3] Котов В.М., Шкердин Г.Н. // Письма в ЖТФ. 1994. Т. 20. В. 6. С. 35-38.
- [4] Котов В.М. // Квантовая электроника. 1994. Т. 21. № 10. С. 937-940.

Поступило в Редакцию
13 сентября 1995 г.
